

# Kongzi: A Historical Large Language Model with Fact Enhancement

Jiashu Yang<sup>1\*✉</sup>, Ningning Wang<sup>1\*</sup>, Yian Zhao<sup>3</sup>, Chaoran Feng<sup>3</sup>, Junjia Du<sup>2</sup>,  
Hao Pang<sup>1</sup>, Zhirui Fang<sup>1</sup>, Xuxin Cheng<sup>3✉</sup>

<sup>1</sup>Dalian University of Technology

<sup>2</sup>Nanyang Technological University

<sup>3</sup>Peking University

jiashuyang827@gmail.com, chengxx.pku@gmail.com

## Abstract

The capabilities of the latest large language models (LLMs) have been extended from pure natural language understanding to complex reasoning tasks. However, current reasoning models often exhibit factual inaccuracies in longer reasoning chains, which poses challenges for historical reasoning and limits the potential of LLMs in complex, knowledge-intensive tasks. Historical studies require not only the accurate presentation of factual information but also the ability to establish cross-temporal correlations and derive coherent conclusions from fragmentary and often ambiguous sources. To address these challenges, we propose **Kongzi**, a large language model specifically designed for historical analysis. Through the integration of curated, high-quality historical data and a novel fact-reinforcement learning strategy, Kongzi demonstrates strong factual alignment and sophisticated reasoning depth. Extensive experiments on tasks such as historical question answering and narrative generation demonstrate that Kongzi outperforms existing models in both factual accuracy and reasoning depth. By effectively addressing the unique challenges inherent in historical texts, Kongzi sets a new standard for the development of accurate and reliable LLMs in professional domains.

## 1 Introduction

Recent advancements in large language models have achieved significant breakthroughs ranging from text generation to complex reasoning (Plaat et al., 2024; DeepSeek-AI et al., 2025). Although LLMs have achieved strong performance across general domains, their application to historical tasks remains a challenge. Historical text generation demands both factual accuracy and the ability to infer complex relationships from fragmented evidence (Cao et al., 2024). However, existing models

often suffer from hallucinations (generating factually inaccurate content), particularly in long-chain reasoning (Huang et al., 2025; Chen et al., 2024a), which limits their reliability in real-world historical analysis.

To mitigate these limitations, existing methods to enhance LLMs—such as reinforcement learning from human feedback (RLHF) (Ouyang et al., 2022) and chain-of-thought (CoT) fine-tuning (Chen et al., 2024b; Kim et al., 2023). These approaches primarily target general-purpose tasks, focusing on aligning model outputs with human preferences or emulating human-like reasoning processes. However, they exhibit notable limitations when applied to domains with high factual precision requirements. For instance, RLHF often lacks domain-specific factual constraints, resulting in outputs that may be fluent and preference-aligned, but lack logical consistency with verified facts. Similarly, while CoT fine-tuning enhances reasoning ability, it does not inherently prevent the generation of factually inaccurate content. These limitations underscore the need for a domain-adaptive training framework for the historical domain—where factual reliability and deep, context-aware reasoning are essential.

Therefore, in this work, we propose **Kongzi**, a reasoning LLM specifically tailored for historical analysis tasks, capable of better analyzing and answering historical questions while maintaining higher factual accuracy and consistency.

We conduct a comprehensive evaluation across multiple dimensions, with results confirming the robustness and effectiveness of our proposed model. To summarize, the main contributions of this paper are as follows:

- Continued Pre-training: We curated a diverse corpus of historical texts and conducted continued pretraining to adapt the base model to the historical domain. This step en-

\*Equal contribution. ✉Corresponding authors.

sures enhanced domain-specific knowledge for smaller models.

- **CoT Data Generation:** We classified initial data into factual statements and reasoning tasks, generating high-quality CoT data to enhance the model’s reasoning ability through two-stage supervised fine-tuning (SFT). This approach enables the model to perform deep contextual reasoning, a critical capability for historical applications.
- **Fact-Aware RL:** We proposed a novel reward function that incorporates factual rewards into the RL framework, ensuring the model generates content that is both accurate and contextually coherent.

## 2 Related Work

### 2.1 Reasoning in Large Language Models

Reasoning constitutes a fundamental capability of large language models, enabling them to solve complex tasks by decomposing problems into logical steps. Early reasoning approaches primarily relied on prompt engineering and few-shot learning (Yu et al., 2023), guiding models to generate intermediate reasoning steps through carefully designed prompts. While these methods excelled in handling simple tasks, they often struggled with more complex problems due to their dependence on static prompts and limited context. Recent research has explored dynamic reasoning frameworks, such as self-consistent decoding (Wang et al., 2023) and scratchpad prompting (Nye et al., 2021), which allow models to iteratively refine their reasoning processes. However, these approaches were primarily designed for general-domain tasks and did not fully address the unique challenges of historical reasoning, such as dealing with ambiguous or incomplete information. For instance, the DeepSeek-R1 model, trained through pure RL, demonstrated significant improvements in reasoning capabilities, even surpassing traditional SFT methods in certain aspects (DeepSeek-AI et al., 2025). Additionally, the ReasonFlux framework achieved remarkable performance enhancements in complex mathematical reasoning tasks through hierarchical RL and structured template libraries (Yang et al., 2025).

### 2.2 Chain-of-Thought Fine-tuning

Chain-of-Thought fine-tuning has emerged as a crucial technique for enhancing the reasoning ca-

pabilities of LLMs (Kim et al., 2023). By generating intermediate reasoning steps, CoT enables models to break down complex problems into simpler subtasks, resulting in more accurate and interpretable solutions. For example, zero-shot CoT demonstrated that LLMs can generate reasoning chains even without explicit fine-tuning, while CoT distillation (Wadhwa et al., 2024) showed that high-quality CoT data can significantly boost model performance. Despite these advancements, most CoT methods have primarily focused on general-domain tasks, such as mathematical reasoning and commonsense question answering, without adequately considering the specific needs of historical reasoning. In this study, we extend CoT to the historical domain by generating high-quality reasoning data tailored to historical contexts, enabling deeper and more accurate reasoning. The ReasonFlux framework, through its hierarchical RL and structured template libraries, has demonstrated significant performance improvements in complex reasoning tasks (e.g., mathematics and programming) by decomposing problems into smaller, more manageable subtasks (Yang et al., 2025).

### 2.3 Reinforcement Learning for Reasoning

RLHF has been widely used to align LLMs with human preferences (Ouyang et al., 2022; Wu et al., 2025; Yu et al., 2024), particularly in tasks requiring complex reasoning. By incorporating human feedback into the training process, RLHF enables models to generate more coherent and contextually appropriate responses. However, traditional RLHF frameworks often lack mechanisms to ensure factual consistency or multi-turn reasoning, which are crucial for historical applications. Recent studies (Rafailov et al., 2024; Schulman et al., 2017; Zhong et al., 2025; Ramesh et al., 2024; Tang et al., 2025) have explored fact-aware RL where models are rewarded for generating factually accurate content, but these approaches typically focus on single-turn tasks and do not address the challenges of lengthy historical narratives. Our work introduces a novel fact-aware RL framework that evaluates the accuracy of each generated segment, ensuring consistent factual correctness throughout the generation process. For instance, the DeepSeek-R1-Zero model (DeepSeek-AI et al., 2025), trained solely using RL, demonstrated robust reasoning capabilities by employing accuracy and format rewards (e.g., code compilation results and deterministic system evaluations).

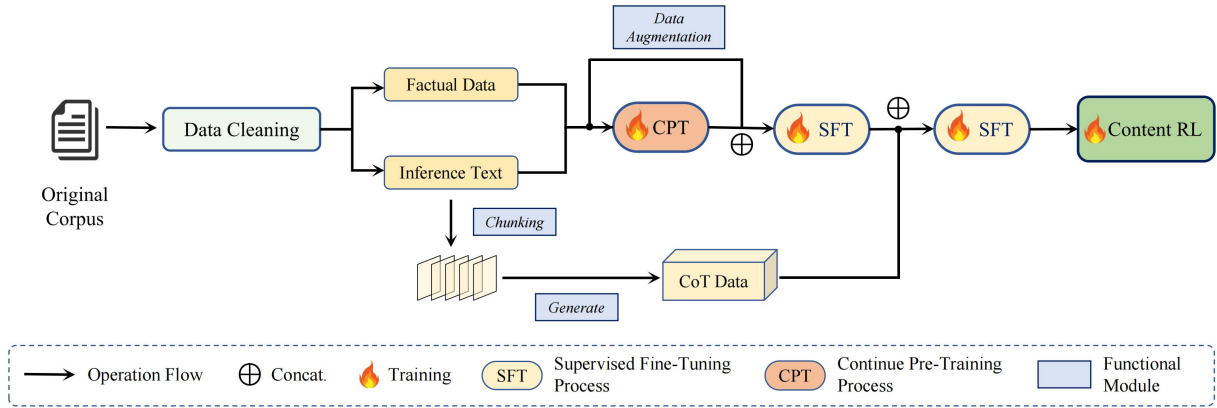


Figure 1: **Overview of our pipeline.** In terms of data processing, we clean the original corpus and separate it into factual data and inference text, where factual data undergoes augmentation while inference text is chunked for generating high-quality CoT data. For model training, we first conduct CPT with basic data, followed by a two-stage SFT to develop both fundamental QA capabilities and CoT reasoning abilities. Finally, Content RL is employed to optimize output quality through reinforcement learning.

### 3 Method

In this section, we first describe the data gathering and processing methods 3.1. We then explain how the data are incorporated into model training to develop comprehension and reasoning capabilities 3.2. Finally, we introduce our novel reward model for fine-tuning to ensure the accuracy of the output 3.3, as presented in Fig. 1.

#### 3.1 Data acquisition and processing

Given the continuity of ancient Chinese history and the completeness of its records, we selected it as the source of historical text data. With the assistance of professionals, we effectively collected nearly 0.2B tokens of high-quality classical Chinese historical corpus, including but not limited to the Twenty-Four Histories. Continued pre-training data: Data cleaning such as reducing noise and deduplication of the original corpus of 0.2B tokens SFT data:

(1) Classification: Historical corpora can be objectively categorised into two types: factual statements and contextual reasoning texts. The latter are used for subsequent data generation purposes. We employ a small-parameter LLM-assisted workflow for this separation. Specifically, when determining contextual information, the model segments text into multiple sentences based on punctuation marks, assigning each sentence a unique identifier. The incorporation of adjacent sentences as auxiliary context is necessitated by the potential for isolated sentences to lack semantic coherence and consequently lead to misjudgement. The remaining content is designated as factual information.

(2) Generation of Primary SFT Data: To enhance the model’s fundamental question-answering capability, we employ a random sampling method to construct simple question-and-answer pairs via LLM.

(3) Generation of Secondary SFT Data: The incorporation of chain-of-thought (CoT) data is imperative to facilitate the model’s reasoning capacity. By leveraging the classified contextual reasoning texts, we guide the reasoning model to perform step-by-step analysis on each sentence and its contextual content. The output of this process follows a standardised CoT format, systematically constructing reasoning chain datasets.

#### 3.2 Initial training strategy for the model

In the Continued pre-training (CPT) stage, the model has already obtained relevant historical information, but its command question-answering ability has not yet reached normal standards. To this end, we preliminarily optimize the pre-trained model through supervised command fine-tuning, so that it has preliminary command understanding and execution capabilities. To further enable the model to acquire reasoning capabilities, we introduce high-quality Chain-of-Thought data, and through the SFT method, enable the model to generate text according to the preset Chain-of-Thought template, thereby constructing a model architecture with preliminary reasoning capabilities, enabling it to have reasoning capabilities.

### 3.3 Reinforcement Learning Training

Previous research focusing on enhancing model reasoning capabilities typically employs two strategies: first, using reward mechanisms to encourage models to output detailed thinking frameworks; second, extending the model’s thinking time (or increasing the number of output tokens). However, these approaches have significant limitations: when the output text is too long, the authenticity of intermediate content becomes difficult to guarantee, leading to model hallucination issues. Specifically, while models can generate accurate short text content under appropriate guidance, they are more prone to producing inaccurate or fabricated information in the middle sections of longer texts.

Notably, Retrieval-Augmented Generation (RAG) (Gao et al., 2024; Ma et al., 2024; Tang et al., 2024) is often considered an effective measure for addressing model hallucination and incorporating external knowledge, with widespread application in production environments. However, RAG itself relies on external information whose authenticity is difficult to verify as an enhancement method, and cannot resolve hallucinations generated during the model’s own output process. As this does not align with the problem definition, we will not discuss it further.

Let

$$X = \frac{\sum_{i=1}^G \sum_{t=1}^{\|o_i\|} \mathcal{M}(r_{ratio}) \cdot \hat{A}_{i,t}}{G \sum_{i=1}^G \|o_i\|}, \quad (1)$$

$$\mathcal{M}(r) = \min [r, \text{CLIP}(r, 1 - \varepsilon, 1 + \varepsilon)] \quad (2)$$

where:

- $G$  is the size of the action group sampled for each state.
- $o_i$  is the output sequence of the  $i$ -th action group.
- $\|o_i\|$  is the length of the output sequence of the  $i$ -th action group.
- $r_{ratio}$  is the probability ratio of the current policy to the old policy.
- $\varepsilon$  is the clipping parameter for the probability ratio.
- $\hat{A}_{i,t}$  is the relative advantage of the  $i$ -th action group at time step  $t$ .

where:

- $G$  is the size of the action group sampled for each state.
- $o_i$  is the output sequence of the  $i$ -th action group.
- $\|o_i\|$  is the length of the output sequence of the  $i$ -th action group.
- $r_{ratio}$  is the probability ratio of the current policy to the old policy.
- $\varepsilon$  is the clipping parameter for the probability ratio.
- $\hat{A}_{i,t}$  is the relative advantage of the  $i$ -th action group at time step  $t$ .

The objective function of Generalized Reward Policy Optimization (GRPO) can be expressed as:

$$\mathcal{J}^{\text{GRPO}}(\theta) = \mathbb{E}[X] - \varepsilon_{KL} \quad (3)$$

where:

- $\varepsilon_{KL}$  is the KL divergence regularization term, used to constrain the difference between the new and old policies.

This objective function optimizes the policy model’s parameters  $\theta$  by minimizing the expectation of  $X$ , while introducing a KL divergence regularization term.

We further introduce a factual authenticity reward mechanism tailored for historical entities, aiming to enhance the reliability of long-form text generation in knowledge-intensive tasks. Based on the traditional GRPO framework, we augment the model with an entity recognition module that extracts and evaluates entity-level information from the generated outputs. This module focuses specifically on entities that are relevant to the input query and are annotated in the reference dataset.

During training, we compare the detected entities against the annotated ground truth. If a relevant entity is correctly identified and its contextual usage aligns with historical facts, a positive reward is assigned. Conversely, if an entity is either missing, incorrectly recognized, or used in an inconsistent or hallucinated context, a negative reward is applied. The reward signal is computed based on the total number of correct and incorrect entity matches, encouraging the model to generate factually grounded and contextually coherent responses.

By explicitly modeling entity-level factuality, this mechanism not only enhances the model’s

sensitivity to historically accurate content but also significantly mitigates hallucination issues commonly observed in the generation of complex, multi-sentence answers.

## 4 Experiments

### 4.1 Data Preparation

We have collected nearly 0.2B tokens of Chinese historical and cultural text corpus, including but not limited to open corpus information such as “Twenty-Four Histories.” These texts are rich in factual content and contextual reasoning capabilities. The corpus covers historical periods, events, and characters spanning thousands of years, ensuring sufficient diversity and representativeness.

In order to facilitate targeted training and accurately obtain higher-quality data, we objectively divided the data into two categories:

1. **Factual statement data:** Mainly contains objective descriptions of historical events, such as dates, places, and relationships between people.
2. **Contextual reasoning text:** Contains inferable value through contextual relationships, metaphors, and proverbs, such as analysis of historical causal relationships or discussion of the meaning of certain events.

### 4.2 Data Processing & Generating

Since most of the original text corpus is classical Chinese, there may be ambiguity in vernacular Chinese after direct continued pre-training. Therefore, after the basic processing of the original data, we randomly extracted 1 million pieces of data and used an LLM to generate normal question-answer pairs of classical Chinese and vernacular Chinese to augment the data for subsequent SFT training.

For passages with context that can be used for reasoning, we randomly sampled in blocks, extracted 500,000 pieces of data, and assigned IDs. We then took each sentence and its top-k contexts as input to the reasoning model to generate thought chain reasoning data that conforms to historical facts. Due to the good performance of DeepseekR1, we used this model in our reasoning experiments. This process yielded 50,000 thought chain data points, which were then screened by the LLM and manually to retain 10,000 high-quality data points for training and 300 for testing.

### 4.3 Base Model Training

We used Qwen2.5 (Qwen et al., 2025) with 0.5B and 7B parameters as the base model for our experiments.

#### 4.3.1 Continued PreTraining

We performed continued pre-training on the 0.5B and 7B models using cleaned classical Chinese data on the NVIDIA A6000 GPU for 1 and 5 days, respectively.

#### 4.3.2 Supervised Fine-Tuning

After continued pre-training, we conducted the first step of SFT on 1 million augmented data using eight NVIDIA GeForce RTX 3090 GPUs. To enhance the model’s ability to answer historical questions while improving its general conversational capabilities, we used a combination of general datasets and our augmented dataset for SFT to achieve human alignment.

In the first step of the SFT process, we adopted a two-stage training strategy to balance general conversational ability and historical question-answering ability:

1. In the first stage, we performed SFT training using a general SFT dataset and half of our augmented dataset with block-level random mixing.
2. In the second stage, we used the other half of the augmented dataset for SFT.

For the second step of SFT, we used 10,000 high-quality Chain-of-Thought (CoT) data points for training. This step enabled the model to acquire self-reflection and autonomous reasoning capabilities from these long CoT data, which helped the subsequent RL phase to learn long CoT capabilities more quickly and effectively.

After SFT, our model demonstrated strong long CoT capabilities. In evaluations, the SFT version of our 7B model significantly outperformed large-scale reasoning models such as Deepseek-R1 and O3-mini.

### 4.4 Reinforcement Learning Training

After completing continued pre-training and SFT, we further optimized the model’s performance through RL using 500 data points.

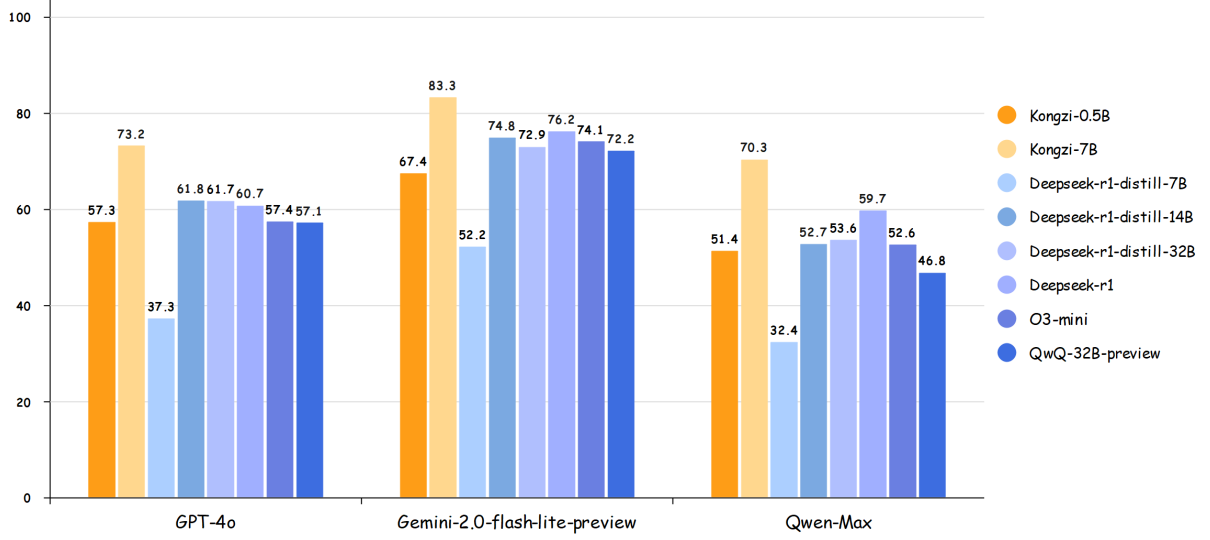


Figure 2: **Comparison of Kongzi’s scores with other models under different judges.** The model score is a weighted sum of the following components: the score for the model’s response process (the average score of Historical Accuracy, Logical Reasoning, and Problem Solving, with a weight of 0.8), the score for the thought process (with a weight of 0.1), and the ratio of the model’s responses that outperform the Deepseek-r1 sample (with a weight of 0.1).

#### 4.4.1 Reinforcement Learning Framework

Our approach uses GRPO as a reinforcement learning framework, combined with a novel reward function to ensure factual accuracy during model generation. In the new reward function, we count the recognized entity information and score it based on the number of correct and incorrect entities, with correct entities being scored positively and incorrect entities being scored negatively. Specifically, we designed the following reward functions to assess the model’s output:

- Formula:

$$ER = w_c \times CE - w_i \times IE$$

where  $w_c$  and  $w_i$  are weights for correct and incorrect entities,  $CE$  is the count of correct entities, and  $IE$  is the count of incorrect entities.

##### 1. Format Reward:

- Check for format markers like `<|begin_of_thought|>`.
- Reward: 1.0 for correct format, 0.0 otherwise.

##### 2. Repetition Penalty Reward:

- Penalize repeated n-grams with a negative value based on repetition ratio.

- Formula:

$$RP = RR \times MPV$$

#### 4.4.2 Integration of Reward Functions

We combined multiple reward functions with weighted aggregation. The final reward is calculated as follows:

$$R_{\text{final}} = w_1 R_{\text{ent}} + w_2 R_{\text{log}} + w_3 R_{\text{fmt}} + w_4 R_{\text{rep}} \quad (4)$$

where:

- $R_{\text{ent}}$ : Entity recognition reward
- $R_{\text{log}}$ : Logical coherence reward
- $R_{\text{fmt}}$ : Format reward
- $R_{\text{rep}}$ : Repetition penalty reward
- $w_1, w_2, w_3, w_4$ : Corresponding weights, where  $\sum_{i=1}^4 w_i = 1$

#### 4.5 Results Evaluation

To ensure fairness and reasonableness, we used both manual expert scoring (Twelve volunteers voted on the responses of each model, and in the end, Kongzi-7B’s response received 72.13% support.) and LLM scoring. Due to the different knowledge and preferences of various LLMs

Table 1: **Comparison of Kongzi with other models on various metrics.** *Think Score* is the rating given by the LLM for the thinking process. *Answer Score* is the average rating for Historical Accuracy, Logical Reasoning and Problem Solving. *>Deepseek-r1 Ratio* is the percentage of cases where the model outperforms Deepseek-r1. The best scores in each metric are in **bold**.

Model	Think Score	Answer Score	Historical Accuracy	Logical Reasoning	Problem Solving	>Deepseek-r1 Ratio
<b>GPT-4o</b>						
Deepseek-r1-distill-7B	45.66	37.82	24.29	49.54	39.63	24.49%
Deepseek-r1-distill-14B	62.41	60.86	43.92	74.65	64.01	68.48%
Deepseek-r1-distill-32B	60.13	60.83	44.70	74.88	62.90	70.07%
Deepseek-r1	67.81	59.94	46.31	70.14	63.36	–
O3-mini	32.77	61.04	45.90	74.06	63.18	53.00%
QwQ-32B-preview	–	57.97	42.53	71.84	59.54	49.77%
<b>Kongzi-0.5B (Ours)</b>	60.42	56.39	53.34	62.41	53.43	62.28%
<b>Kongzi-7B (Ours)</b>	<b>72.34</b>	<b>70.64</b>	<b>58.45</b>	<b>82.13</b>	<b>71.34</b>	<b>94.32%</b>
<b>Gemini-2.5</b>						
Deepseek-r1-distill-7B	62.09	54.69	45.94	60.50	57.60	22.35%
Deepseek-r1-distill-14B	75.64	78.53	70.60	82.95	82.03	44.70%
Deepseek-r1-distill-32B	75.12	76.54	68.25	81.57	79.82	41.04%
Deepseek-r1	77.39	76.05	69.30	79.95	78.89	–
O3-mini	33.09	84.45	77.19	<b>88.99</b>	87.19	32.03%
QwQ-32B-preview	–	77.13	69.40	82.53	79.45	27.42%
<b>Kongzi-0.5B (Ours)</b>	77.91	68.49	61.13	69.88	74.45	48.17%
<b>Kongzi-7B (Ours)</b>	<b>89.24</b>	<b>84.43</b>	<b>80.45</b>	85.43	<b>89.42</b>	<b>68.21%</b>
<b>Qwen-Max</b>						
Deepseek-r1-distill-7B	44.50	34.72	19.86	50.37	33.92	14.98%
Deepseek-r1-distill-14B	59.93	57.57	39.03	78.39	55.30	65.21%
Deepseek-r1-distill-32B	61.52	58.49	39.82	79.95	55.71	62.90%
Deepseek-r1	64.29	59.23	43.01	74.70	59.91	–
O3-mini	32.77	61.04	45.90	74.06	<b>63.18</b>	54.38%
QwQ-32B-preview	–	57.80	40.97	77.05	55.39	50.23%
<b>Kongzi-0.5B (Ours)</b>	60.40	50.49	39.82	67.12	44.52	49.18%
<b>Kongzi-7B (Ours)</b>	<b>73.31</b>	<b>67.82</b>	<b>56.36</b>	<b>84.78</b>	62.31	<b>87.21%</b>

(Gu et al., 2025), we selected three mainstream LLMs(GPT-4o (OpenAI et al., 2024), Gemini-2.0-flash-lite-preview,Qwen-Max) to score according to our scoring template:

(1) Think Score: The score of thinking ability or strategy.

(2) Answer Score: The score of the quality of

the answer result.

(3) Historical Accuracy: The accuracy of the statement of real historical events.

(4) Logical Reasoning: Whether the logic of reasoning is correct.

(5) Problem Solving: Whether the problem is solved normally.

Table 2: **Improvement of Kongzi model performance in various metrics by RL training.** We have listed the improvements of the RL-trained Kongzi 0.5B and 7B models over the SFT version across various metrics.

Model	Think Score	Answer Score	Historical Accuracy	Logical Reasoning	Problem Solving	>Deepseek-r1 Ratio
<b>GPT-4o</b>						
Kongzi-0.5B-SFT	50.42	45.68	33.87	56.59	46.59	52.18%
Kongzi-7B-SFT	60.46	64.27	50.97	76.96	64.88	85.29%
<b>Kongzi-0.5B-RL</b>	<b>60.42</b> <sub>(+10.0)</sub>	<b>56.39</b> <sub>(+10.7)</sub>	<b>53.34</b> <sub>(+19.5)</sub>	<b>62.41</b> <sub>(+5.9)</sub>	<b>53.43</b> <sub>(+6.8)</sub>	<b>62.28</b> <sub>(+10.1)%</sub>
<b>Kongzi-7B-RL</b>	<b>72.34</b> <sub>(+11.9)</sub>	<b>70.64</b> <sub>(+6.4)</sub>	<b>58.45</b> <sub>(+7.5)</sub>	<b>82.13</b> <sub>(+5.2)</sub>	<b>71.34</b> <sub>(+6.5)</sub>	<b>94.32</b> <sub>(+9.0)%</sub>
<b>Gemini-2.5</b>						
Kongzi-0.5B-SFT	70.89	61.78	54.61	64.38	66.36	42.17%
Kongzi-7B-SFT	80.13	74.72	68.39	76.04	79.72	57.83%
<b>Kongzi-0.5B-RL</b>	<b>77.91</b> <sub>(+7.0)</sub>	<b>68.49</b> <sub>(+6.7)</sub>	<b>61.13</b> <sub>(+6.5)</sub>	<b>69.88</b> <sub>(+5.5)</sub>	<b>74.45</b> <sub>(+8.1)</sub>	<b>48.17</b> <sub>(+6.0)%</sub>
<b>Kongzi-7B-RL</b>	<b>89.24</b> <sub>(+9.1)</sub>	<b>84.43</b> <sub>(+9.7)</sub>	<b>80.45</b> <sub>(+12.1)</sub>	<b>85.43</b> <sub>(+9.4)</sub>	<b>89.42</b> <sub>(+9.7)</sub>	<b>68.21</b> <sub>(+10.4)%</sub>
<b>Qwen-Max</b>						
Kongzi-0.5B-SFT	54.40	44.33	32.12	56.31	44.52	36.17%
Kongzi-7B-SFT	64.46	61.52	46.59	78.43	59.54	79.49%
<b>Kongzi-0.5B-RL</b>	<b>60.40</b> <sub>(+6.0)</sub>	<b>50.49</b> <sub>(+6.2)</sub>	<b>39.82</b> <sub>(+7.7)</sub>	<b>67.12</b> <sub>(+10.8)</sub>	<b>44.52</b> <sub>(+0.0)</sub>	<b>49.18</b> <sub>(+13.0)%</sub>
<b>Kongzi-7B-RL</b>	<b>73.31</b> <sub>(+8.9)</sub>	<b>67.82</b> <sub>(+6.3)</sub>	<b>56.36</b> <sub>(+9.8)</sub>	<b>84.78</b> <sub>(+6.4)</sub>	<b>62.31</b> <sub>(+2.8)</sub>	<b>87.21</b> <sub>(+7.8)%</sub>

The results are shown in Figure 12 and Table 1. The results demonstrate that our Kongzi model has excellent capabilities in all aspects, with the 7B model surpassing the Deepseek-R1 model and achieving the highest score. It is also worth mentioning that the Kongzi 0.5B model has shown astonishing inference capabilities, outperforming DeepSeek-r1-Distill-7B and 14B.

To demonstrate the effectiveness of our RL training, we present a comparison of the scores of the RL version of the Kongzi 0.5B model and the 7B model with the SFT version. The results are shown in Table 2. The results demonstrate that the RL-trained models achieved significant improvements in all metrics.

## 5 Conclusion

In this work, we propose Kongzi, a historically improved large language model, which is the first to introduce and implement a reasoning and fact-enhancing model for humanities-oriented scenarios. Using a novel reward mechanism and high-quality chain-of-thought reasoning data, Kongzi significantly improves performance in historical tasks, achieving competitive results with a relatively smaller model in evaluations. Further analysis demonstrates the feasibility of this reinforcement learning paradigm for such tasks. In the future, we will explore the scalability of reinforce-

ment learning methods augmented with factual data, as well as the enhancement provided by humanities reasoning data in assisting model reasoning capabilities, to improve the reasoning abilities of large language models.

## Limitations

Although Kongzi has notably improved the ability of existing models to reduce hallucinations in generated tokens during testing, it is important to acknowledge that, due to objective limitations in data scale, model size, and usage scenarios, we are currently unable to demonstrate that incorporating an accurate reward function is universally effective in mitigating hallucinations. As such, our future work will focus on collecting more generalized data and establishing a broadly applicable paradigm to address hallucination across diverse scenarios.

## Ethics Statement

We conduct all experiments on newly created datasets, which are based on objective public facts and do not contain any offensive content or information with negative social impact. The focus of our paper is to enhance the reasoning ability of LLM in the historical vertical field, and our model has no uncontrollable output. Therefore, we ensure that our paper complies with the ethical review guidelines.

## References

- Jiahuan Cao, Dezhi Peng, Peirong Zhang, Yongxin Shi, Yang Liu, Kai Ding, and Lianwen Jin. 2024. [Tonggu: Mastering classical chinese understanding with knowledge-grounded large language models](#). *Preprint*, arXiv:2407.03937. 1
- Chao Chen, Kai Liu, Ze Chen, Yi Gu, Yue Wu, Mingyuan Tao, Zhihang Fu, and Jieping Ye. 2024a. [INSIDE: LLMs' internal states retain the power of hallucination detection](#). In *The Twelfth International Conference on Learning Representations*. 1
- Xin Chen, Hanxian Huang, Yanjun Gao, Yi Wang, Jishen Zhao, and Ke Ding. 2024b. Learning to maximize mutual information for chain-of-thought distillation. *arXiv preprint arXiv:2403.03348*. 1
- DeepSeek-AI, Daya Guo, Dejian Yang, Haowei Zhang, Junxiao Song, Ruoyu Zhang, Runxin Xu, Qihao Zhu, Shiron Ma, Peiyi Wang, Xiao Bi, Xiaokang Zhang, Xingkai Yu, Yu Wu, Z. F. Wu, Zhibin Gou, Zhihong Shao, Zhuoshu Li, Ziyi Gao, Aixin Liu, Bing Xue, Bingxuan Wang, Bochao Wu, Bei Feng, Chengda Lu, Chenggang Zhao, Chengqi Deng, Chenyu Zhang, Chong Ruan, Damai Dai, Deli Chen, Dongjie Ji, Erhang Li, Fangyun Lin, Fucong Dai, Fuli Luo, Guangbo Hao, Guanting Chen, Guowei Li, H. Zhang, Han Bao, Hanwei Xu, Haocheng Wang, Honghui Ding, Huajian Xin, Huazuo Gao, Hui Qu, Hui Li, Jianzhong Guo, Jiashi Li, Jiawei Wang, Jingchang Chen, Jingyang Yuan, Junjie Qiu, Junlong Li, J. L. Cai, Jiaqi Ni, Jian Liang, Jin Chen, Kai Dong, Kai Hu, Kaige Gao, Kang Guan, Kexin Huang, Kuai Yu, Lean Wang, Lecong Zhang, Liang Zhao, Litong Wang, Liyue Zhang, Lei Xu, Leyi Xia, Mingchuan Zhang, Minghua Zhang, Minghui Tang, Meng Li, Miaojun Wang, Mingming Li, Ning Tian, Panpan Huang, Peng Zhang, Qiancheng Wang, Qinyu Chen, Qiushi Du, Ruiqi Ge, Ruisong Zhang, Ruizhe Pan, Runji Wang, R. J. Chen, R. L. Jin, Ruyi Chen, Shanghao Lu, Shangyan Zhou, Shanhuang Chen, Shengfeng Ye, Shiyu Wang, Shuiping Yu, Shunfeng Zhou, Shuting Pan, S. S. Li, Shuang Zhou, Shaoqing Wu, Shengfeng Ye, Tao Yun, Tian Pei, Tianyu Sun, T. Wang, Wangding Zeng, Wanxia Zhao, Wen Liu, Wenfeng Liang, Wenjun Gao, Wenqin Yu, Wentao Zhang, W. L. Xiao, Wei An, Xiaodong Liu, Xiaohan Wang, Xiaokang Chen, Xiaotao Nie, Xin Cheng, Xin Liu, Xin Xie, Xingchao Liu, Xinyu Yang, Xinyuan Li, Xuecheng Su, Xuheng Lin, X. Q. Li, Xiangyue Jin, Xiaojin Shen, Xiaosha Chen, Xiaowen Sun, Xiaoxiang Wang, Xinnan Song, Xinyi Zhou, Xianzu Wang, Xinxia Shan, Y. K. Li, Y. Q. Wang, Y. X. Wei, Yang Zhang, Yanhong Xu, Yao Li, Yao Zhao, Yaofeng Sun, Yaohui Wang, Yi Yu, Yichao Zhang, Yifan Shi, Yiliang Xiong, Ying He, Yishi Piao, Yisong Wang, Yixuan Tan, Yiyang Ma, Yiyuan Liu, Yongqiang Guo, Yuan Ou, Yudian Wang, Yue Gong, Yuheng Zou, Yujia He, Yunfan Xiong, Yuxiang Luo, Yuxiang You, Yuxuan Liu, Yuyang Zhou, Y. X. Zhu, Yanhong Xu, Yanping Huang, Yaohui Li, Yi Zheng, Yuchen Zhu, Yunxian Ma, Ying Tang, Yukun Zha, Yuting Yan, Z. Z. Ren, Zehui Ren, Zhangli Sha, Zhe Fu, Zhean Xu, Zhenda Xie, Zhengyan Zhang, Zhewen Hao, Zhicheng Ma, Zhigang Yan, Zhiyu Wu, Zihui Gu, Zijia Zhu, Zijun Liu, Zilin Li, Ziwei Xie, Ziyang Song, Zizheng Pan, Zhen Huang, Zhipeng Xu, Zhongyu Zhang, and Zhen Zhang. 2025. [Deepseek-r1: Incentivizing reasoning capability in llms via reinforcement learning](#). *Preprint*, arXiv:2501.12948. 1, 2
- Yunfan Gao, Yun Xiong, Xinyu Gao, Kangxiang Jia, Jinliu Pan, Yuxi Bi, Yi Dai, Jiawei Sun, Meng Wang, and Haofen Wang. 2024. [Retrieval-augmented generation for large language models: A survey](#). *Preprint*, arXiv:2312.10997. 4
- Jiawei Gu, Xuhui Jiang, Zhichao Shi, Hexiang Tan, Xuehao Zhai, Chengjin Xu, Wei Li, Yinghan Shen, Shengjie Ma, Honghao Liu, Saizhuo Wang, Kun Zhang, Yuanzhuo Wang, Wen Gao, Lionel Ni, and Jian Guo. 2025. [A survey on llm-as-a-judge](#). *Preprint*, arXiv:2411.15594. 7
- Lei Huang, Weijiang Yu, Weitao Ma, Weihong Zhong, Zhangyin Feng, Haotian Wang, Qianglong Chen, Weihua Peng, Xiaocheng Feng, Bing Qin, and Ting Liu. 2025. [A survey on hallucination in large language models: Principles, taxonomy, challenges, and open questions](#). *ACM Transactions on Information Systems*, 43(2):1–55. 1
- Seungone Kim, Se June Joo, Doyoung Kim, Joel Jang, Seonghyeon Ye, Jamin Shin, and Minjoon Seo. 2023. [The cot collection: Improving zero-shot and few-shot learning of language models via chain-of-thought fine-tuning](#). In *The 2023 Conference on Empirical Methods in Natural Language Processing*. 1, 2
- Shengjie Ma, Chengjin Xu, Xuhui Jiang, Muzhi Li, Huaren Qu, Cehao Yang, Jiabin Mao, and Jian Guo. 2024. [Think-on-graph 2.0: Deep and faithful large language model reasoning with knowledge-guided retrieval augmented generation](#). *arXiv preprint arXiv:2407.10805*. 4
- Maxwell Nye, Anders Johan Andreassen, Guy Gur-Ari, Henryk Michalewski, Jacob Austin, David Bieber, David Dohan, Aitor Lewkowycz, Maarten Bosma, David Luan, Charles Sutton, and Augustus Odena. 2021. [Show your work: Scratchpads for intermediate computation with language models](#). *Preprint*, arXiv:2112.00114. 2
- OpenAI, Josh Achiam, Steven Adler, Sandhini Agarwal, Lama Ahmad, Ilge Akkaya, Florencia Leoni Aleman, Diogo Almeida, Janko Altenschmidt, Sam Altman, Shyamal Anadkat, Red Avila, Igor Babuschkin, Suchir Balaji, Valerie Balcom, Paul Baltescu, Haiming Bao, Mohammad Bavarian, Jeff Belgum, Irwan Bello, Jake Berdine, Gabriel Bernadett-Shapiro, Christopher Berner, Lenny Bogdonoff, Oleg Boiko, Madelaine Boyd, Anna-Luisa Brakman, Greg Brockman, Tim Brooks, Miles Brundage, Kevin Button, Trevor Cai, Rosie Campbell, Andrew Cann, Brittany Carey, Chelsea Carlson, Rory Carmichael, Brooke Chan, Che Chang, Fotis Chantzis, Derek Chen, Sully Chen, Ruby Chen, Jason Chen, Mark Chen, Ben

- Chess, Chester Cho, Casey Chu, Hyung Won Chung, Dave Cummings, Jeremiah Currier, Yunxing Dai, Cory Decareaux, Thomas Degry, Noah Deutsch, Damien Deville, Arka Dhar, David Dohan, Steve Dowling, Sheila Dunning, Adrien Ecoffet, Atty Eleti, Tyna Eloundou, David Farhi, Liam Fedus, Niko Felix, Simón Posada Fishman, Juston Forte, Isabella Fulford, Leo Gao, Elie Georges, Christian Gibson, Vik Goel, Tarun Gogineni, Gabriel Goh, Rapha Gontijo-Lopes, Jonathan Gordon, Morgan Grafstein, Scott Gray, Ryan Greene, Joshua Gross, Shixiang Shane Gu, Yufei Guo, Chris Hallacy, Jesse Han, Jeff Harris, Yuchen He, Mike Heaton, Johannes Heidecke, Chris Hesse, Alan Hickey, Wade Hickey, Peter Hoeschele, Brandon Houghton, Kenny Hsu, Shengli Hu, Xin Hu, Joost Huizinga, Shantanu Jain, Shawn Jain, Joanne Jang, Angela Jiang, Roger Jiang, Haozhun Jin, Denny Jin, Shino Jomoto, Billie Jonn, Heewoo Jun, Tomer Kaftan, Łukasz Kaiser, Ali Kamali, Ingmar Kanitscheider, Nitish Shirish Keskar, Tabarak Khan, Logan Kilpatrick, Jong Wook Kim, Christina Kim, Yongjik Kim, Jan Hendrik Kirchner, Jamie Kiros, Matt Knight, Daniel Kokotajlo, Łukasz Kondraciuk, Andrew Kondrich, Aris Konstantinidis, Kyle Kosic, Gretchen Krueger, Vishal Kuo, Michael Lampe, Ikai Lan, Teddy Lee, Jan Leike, Jade Leung, Daniel Levy, Chak Ming Li, Rachel Lim, Molly Lin, Stephanie Lin, Mateusz Litwin, Theresa Lopez, Ryan Lowe, Patricia Lue, Anna Makanju, Kim Malfacini, Sam Manning, Todor Markov, Yaniv Markovski, Bianca Martin, Katie Mayer, Andrew Mayne, Bob McGrew, Scott Mayer McKinney, Christine McLeavey, Paul McMillan, Jake McNeil, David Medina, Aalok Mehta, Jacob Menick, Luke Metz, Andrey Mishchenko, Pamela Mishkin, Vinnie Monaco, Evan Morikawa, Daniel Mossing, Tong Mu, Mira Murati, Oleg Murk, David Mély, Ashvin Nair, Reiichiro Nakano, Rajeev Nayak, Arvind Neelakantan, Richard Ngo, Hyeonwoo Noh, Long Ouyang, Cullen O’Keefe, Jakub Pachocki, Alex Paino, Joe Palermo, Ashley Pantuliano, Giambattista Parascandolo, Joel Parish, Emy Parparita, Alex Passos, Mikhail Pavlov, Andrew Peng, Adam Perelman, Filipe de Avila Belbute Peres, Michael Petrov, Henrique Ponde de Oliveira Pinto, Michael, Pokorny, Michelle Pokrass, Vitchyr H. Pong, Tolly Powell, Alethea Power, Boris Power, Elizabeth Proehl, Raul Puri, Alec Radford, Jack Rae, Aditya Ramesh, Cameron Raymond, Francis Real, Kendra Rimbach, Carl Ross, Bob Rotsted, Henri Roussez, Nick Ryder, Mario Saltarelli, Ted Sanders, Shibani Santurkar, Girish Sastry, Heather Schmidt, David Schnurr, John Schulman, Daniel Selsam, Kyla Sheppard, Toki Sherbakov, Jessica Shieh, Sarah Shoker, Pranav Shyam, Szymon Sidor, Eric Sigler, Maddie Simens, Jordan Sitkin, Katarina Slama, Ian Sohl, Benjamin Sokolowsky, Yang Song, Natalie Staudacher, Felipe Petroski Such, Natalie Summers, Ilya Sutskever, Jie Tang, Nikolas Tezak, Madeleine B. Thompson, Phil Tillet, Amin Tootoonchian, Elizabeth Tseng, Preston Tuggle, Nick Turley, Jerry Tworek, Juan Felipe Cerón Uribe, Andrea Vallone, Arun Vijayvergiya, Chelsea Voss, Carroll Wainwright, Justin Jay Wang, Alvin Wang, Ben Wang, Jonathan Ward, Jason Wei, CJ Weinmann, Akila Welihinda, Peter Welinder, Jiayi Weng, Lilian Weng, Matt Wiethoff, Dave Willner, Clemens Winter, Samuel Wolrich, Hannah Wong, Lauren Workman, Sherwin Wu, Jeff Wu, Michael Wu, Kai Xiao, Tao Xu, Sarah Yoo, Kevin Yu, Qiming Yuan, Wojciech Zaremba, Rowan Zellers, Chong Zhang, Marvin Zhang, Shengjia Zhao, Tianhao Zheng, Juntang Zhuang, William Zhuk, and Barret Zoph. 2024. [Gpt-4 technical report](#). *Preprint*, arXiv:2303.08774. 7
- Long Ouyang, Jeff Wu, Xu Jiang, Diogo Almeida, Carroll L. Wainwright, Pamela Mishkin, Chong Zhang, Sandhini Agarwal, Katarina Slama, Alex Ray, John Schulman, Jacob Hilton, Fraser Kelton, Luke Miller, Maddie Simens, Amanda Askell, Peter Welinder, Paul Christiano, Jan Leike, and Ryan Lowe. 2022. [Training language models to follow instructions with human feedback](#). *Preprint*, arXiv:2203.02155. 1, 2
- Aske Plaat, Annie Wong, Suzan Verberne, Joost Broekens, Niki van Stein, and Thomas Back. 2024. [Reasoning with large language models, a survey](#). *Preprint*, arXiv:2407.11511. 1
- Qwen, An Yang, Baosong Yang, Beichen Zhang, Binyuan Hui, Bo Zheng, Bowen Yu, Chengyuan Li, Dayiheng Liu, Fei Huang, Haoran Wei, Huan Lin, Jian Yang, Jianhong Tu, Jianwei Zhang, Jianxin Yang, Jiayi Yang, Jingren Zhou, Junyang Lin, Kai Dang, Keming Lu, Keqin Bao, Kexin Yang, Le Yu, Mei Li, Mingfeng Xue, Pei Zhang, Qin Zhu, Rui Men, Runji Lin, Tianhao Li, Tianyi Tang, Tingyu Xia, Xingzhang Ren, Xuancheng Ren, Yang Fan, Yang Su, Yichang Zhang, Yu Wan, Yuqiong Liu, Zeyu Cui, Zhenru Zhang, and Zihan Qiu. 2025. [Qwen2.5 technical report](#). *Preprint*, arXiv:2412.15115. 5
- Rafael Rafailov, Archit Sharma, Eric Mitchell, Stefano Ermon, Christopher D. Manning, and Chelsea Finn. 2024. [Direct preference optimization: Your language model is secretly a reward model](#). *Preprint*, arXiv:2305.18290. 2
- Shyam Sundhar Ramesh, Yifan Hu, Iason Chaimalas, Viraj Mehta, Pier Giuseppe Sessa, Haitham Bou Ammar, and Ilija Bogunovic. 2024. [Group robust preference optimization in reward-free RLHF](#). In *The Thirty-eighth Annual Conference on Neural Information Processing Systems*. 2
- John Schulman, Filip Wolski, Prafulla Dhariwal, Alec Radford, and Oleg Klimov. 2017. [Proximal policy optimization algorithms](#). *Preprint*, arXiv:1707.06347. 2
- Zhenyu Tang, Chaoran Feng, Xinhua Cheng, Wangbo Yu, Junwu Zhang, Yuan Liu, Xiaoxiao Long, Wenping Wang, and Li Yuan. 2025. [Neuralgs: Bridging neural fields and 3d gaussian splatting for compact 3d representations](#). *arXiv preprint arXiv:2503.23162*. 2
- Zhenyu Tang, Junwu Zhang, Xinhua Cheng, Wangbo Yu, Chaoran Feng, Yatian Pang, Bin Lin, and Li Yuan.

2024. Cycle3d: High-quality and consistent image-to-3d generation via generation-reconstruction cycle. *arXiv preprint arXiv:2407.19548*. 4
- Somin Wadhwa, Silvio Amir, and Byron C. Wallace. 2024. Investigating mysteries of cot-augmented distillation. *Preprint*, arXiv:2406.14511. 2
- Xuezhi Wang, Jason Wei, Dale Schuurmans, Quoc Le, Ed Chi, Sharan Narang, Aakanksha Chowdhery, and Denny Zhou. 2023. Self-consistency improves chain of thought reasoning in language models. *Preprint*, arXiv:2203.11171. 2
- Shuang Wu, Liwen Zhu, Tao Yang, Shiweixu, QIANG FU, Yang Wei, and Haobo Fu. 2025. Enhance reasoning for large language models with reinforcement learning in the game werewolf. 2
- Ling Yang, Zhaochen Yu, Bin Cui, and Mengdi Wang. 2025. Reasonflux: Hierarchical llm reasoning via scaling thought templates. *Preprint*, arXiv:2502.06772. 2
- Wangbo Yu, Chaoran Feng, Jiye Tang, Xu Jia, Li Yuan, and Yonghong Tian. 2024. Evagaussians: Event stream assisted gaussian splatting from blurry images. *arXiv preprint arXiv:2405.20224*. 2
- Zihan Yu, Liang He, Zhen Wu, Xinyu Dai, and Jiajun Chen. 2023. Towards better chain-of-thought prompting strategies: A survey. *Preprint*, arXiv:2310.04959. 2
- Han Zhong, Zikang Shan, Guhao Feng, Wei Xiong, Xinle Cheng, Li Zhao, Di He, Jiang Bian, and Liwei Wang. 2025. Dpo meets ppo: Reinforced token optimization for rlhf. *Preprint*, arXiv:2404.18922. 2

## A Training Configurations

Table 3: Training Configuration Across Different Stages

Parameter	LR	Steps / Epochs	Batch Size	Seq Length
<b>1. Continue Pretrain Stage</b>				
Kongzi-0.5B	2e-5	1500	128	8192
Kongzi-7B	5e-5	750	256	8192
<b>Optimizer</b>	AdamW		<b>Hardware</b>	NVIDIA A6000
<b>2. SFT Stage</b>				
Kongzi-0.5B	2e-5	4000	128	4096
Kongzi-7B	5e-5	2000	256	4096
<b>Optimizer</b>	AdamW		<b>Hardware</b>	NVIDIA A6000
<b>3. COT-SFT Stage</b>				
Kongzi-0.5B	2e-5	390	128	4096
Kongzi-7B	5e-5	195	256	4096
<b>Optimizer</b>	AdamW		<b>Hardware</b>	NVIDIA A6000
<b>4. COT-RL Stage</b>				
Kongzi-0.5B	2e-5	117	128	4096
Kongzi-7B	5e-5	117	256	4096
<b>Optimizer</b>	AdamW		<b>Hardware</b>	NVIDIA A6000

## B Test Samples



朱元璋为什么会杀害张良？



嗯，用户问的是朱元璋为什么会杀害张良。首先，我需要确认这两个人的历史背景是否正确。朱元璋是明朝的开国皇帝，而张良是汉初的重要人物，辅佐刘邦建立汉朝。时间上相差了几个世纪，张良在朱元璋出生前就已经去世了。所以，这里可能存在误解，用户可能混淆了人物或者时间。

接下来，我应该检查是否有同名的其他人物。比如，明朝是否有叫张良的重要人物？可能用户记错了名字，比如张士诚？张士诚是元末的起义领袖，和朱元璋有过冲突，后来被朱元璋击败并处决。或者是否是其他张姓人物？

如果用户确实是指汉初的张良，那么需要指出时间上的错误，并解释张良并未被朱元璋杀害，而是早于朱元璋去世。同时，可以简要介绍张良的生平，以及朱元璋的历史背景，帮助用户理清时间线。

另外，可能用户将张良与其他被朱元璋处决的人物混淆了，比如胡惟庸、蓝玉等功臣。需要确认是否有其他张姓人物被朱元璋杀害，避免错误。

最后，总结回答时需要明确指出时间线的错误，并提供正确的历史人物信息，帮助用户纠正误解。同时保持回答的友好，避免让用户感到被指责，而是提供准确的信息。

关于朱元璋与张良的历史关系，需要明确指出一个关键的时间线问题：张良并非被朱元璋杀害，因为两人分属不同历史时期。

详细解答过程：

一、时间线矛盾分析

1. 张良的生卒年：

- 张良（前259年—前186年）是汉初重要政治家，辅佐刘邦建立汉朝，位列“汉初三杰”。
- 其主要活动时间为秦末至汉初，距朱元璋（1328年—1398年）出生前约1500年。

2. 朱元璋的历史背景：

- 朱元璋是元末农民起义领袖，明朝开国皇帝（1368年称帝）。
- 其主要活动时间为14世纪中叶，与张良所处时代相隔近1500年。

二、可能混淆的人物关系

1. 张士诚与朱元璋的冲突：

- 张士诚（1321年—1367年）是元末另一割据势力首领，与朱元璋争夺江南控制权。
- 1367年，张士诚兵败被俘，朱元璋下令将其处决。

2. 张良在汉初的政治角色：

- 张良在汉初主要贡献为：
  - 协助刘邦制定战略方针
  - 推动“分封制”与“郡县制”结合
  - 主持明升暗降的政治过渡
- 汉高祖六年（前201年）封为留侯，后病逝于汉惠帝时期（前188年）。

三、历史记载佐证

1. 《史记·留侯世家》明确记载：

- 张良“卒于汉惠帝九年”，享年62岁
- 其孙张辟强在汉文帝时仍活跃于政坛

2. 《明史》记载：

- 朱元璋对张良的评价为：“汉初三杰，张子房其一也”
- 明朝建立后曾多次祭祀张良，将其列为“开国文臣之首”

四、可能产生误解的原因

1. 同名混淆：

- 明朝有同名人物“张良”（虚构，非历史人物）的文学创作
- 地方志中偶有同名人物记载可能造成混淆

2. 历史事件类比：

- 朱元璋诛杀功臣（如蓝玉、胡惟庸）与张良善终形成对比
- 元末“驱逐胡虏”与汉初政治环境的相似性联想

五、结论

张良并非被朱元璋杀害，两人分属相隔近1500年的不同历史时期。张良作为汉初开国功臣，其历史贡献得到朱元璋高度认可。若需进一步探讨明初历史人物，请提供更准确的姓名或事件线索，以便进行针对性解答。

Figure 3: Spatial-temporal relationship comprehension test, the results of Deepseek.

嗯，用户问的是“朱元璋为什么会杀害张良？”，这个问题看起来有点问题，因为张良是汉朝初年的人物，而朱元璋是明朝的开国皇帝，两人相隔了一千多年。所以，首先我需要确认用户的问题是否存在误解或者笔误。

可能的情况是，用户可能把“张良”和明朝的某位功臣混淆了。比如，明朝初期朱元璋确实诛杀了很多功臣，像胡惟庸、蓝玉等。而张良作为汉代的著名谋士，帮助刘邦建立汉朝，后来功成身退，并没有被杀害。所以用户可能记错了名字，或者想了解朱元璋杀功臣的原因，但错误地写成了张良。

接下来，我需要考虑用户为什么会提出这个问题。也许用户在学习明朝历史时，听说了朱元璋诛杀功臣的事情，但记错了名字，或者对历史人物不太熟悉，导致混淆。也有可能用户是在测试我对历史知识的了解程度，或者有其他意图。

然后，我需要决定如何回答这个问题。首先，指出张良和朱元璋不在同一时代，张良没有被朱元璋杀害的事实。然后，解释用户可能的混淆点，比如明朝的功臣有哪些，朱元璋为何诛杀他们，比如加强皇权、消除威胁等。同时，可以比较张良和明朝功臣的不同结局，说明历史背景的不同。

另外，还要考虑用户是否真的想了解张良和朱元璋之间的关系，虽然这在历史上是不可能的，但需要明确说明。或者用户可能对“鸟尽弓藏”的现象感兴趣，即开国皇帝处理功臣的不同方式，这时候可以扩展讨论一下。还需要确保回答准确，避免传播错误的历史信息。同时，语言要通俗易懂，帮助用户理解可能存在的混淆点，并引导他们正确认识历史事件和人物。

最后，总结用户的可能需求，提供清晰的历史背景分析，解答疑惑，并纠正可能的错误认知。这样用户不仅能得到问题的答案，还能学到相关的历史知识，避免类似的混淆再次发生。

关于“朱元璋杀害张良”的说法存在明显的历史错误，因为两人并非同一时代的人物。以下是详细分析：

**1. 时间线错误**  
张良是西汉初年（约公元前3世纪）的重要谋士，辅佐刘邦建立汉朝，功成身退后隐居，史书记载他善终，未被杀害。朱元璋是明朝开国皇帝（14世纪），与张良相隔约1600年，两人绝无交集。

**2. 可能的混淆来源**  
用户可能将张良与明朝初年的功臣混淆。朱元璋在位期间确实曾清洗功臣集团（如胡惟庸案、蓝玉案），诛杀或废黜了李善长、蓝玉、徐达（存争议）等重臣，但这些人属于明朝开国武将或文官，与张良无关。

**3. 朱元璋诛杀功臣的原因**  
巩固皇权：朱元璋出身寒微，对功臣的潜在威胁高度敏感，尤其担心太子朱标（早逝）及继任者难以驾驭权臣。  
整顿吏治：以反腐名义清除结党营私的官员，如胡惟庸案涉及数万人。  
消除军事威胁：蓝玉等武将手握兵权，可能威胁皇权继承。  
历史教训：借鉴汉高祖刘邦诛杀异姓王的前例，但手段更为酷烈。

**4. 张良与明朝功臣的对比**  
张良：西汉开国后主动隐退，避免卷入权力斗争，得以保全。  
明朝功臣：多因居功自傲、卷入政治斗争或朱元璋的猜忌而被清洗。

**5. 历史误读的启示**  
需注意历史人物所处的时代背景，避免因名字相似或角色类比产生混淆。  
朱元璋的“诛杀功臣”现象反映了君主专制体制下皇权与功臣集团的矛盾，但具体案例需逐一考证。

**总结**  
“朱元璋杀张良”是时空错位的误传。若问题本意是探讨朱元璋对明朝功臣的清洗，可结合胡惟庸、蓝玉等案例分析其政治动机；若对张良结局感兴趣，需回归汉初历史语境。理解历史需严格遵循时间线与史料证据。



Figure 4: Spatial-temporal relationship comprehension test, the results of Deepseek.

嗯，用户问的是朱元璋为什么杀害张良。首先，我需要确认张良是哪个历史人物，因为张良这个名字在历史上有几个不同的人。最著名的张良是汉朝的开国功臣，但用户提到的是朱元璋，他是明朝的开国皇帝，所以时间上可能不太对。因此，可能用户指的是另一个叫张良的人。

接下来，我应该回想一下朱元璋时期有哪些叫张良的人物。可能用户混淆了名字，或者记错了名字。比如，朱元璋确实有过屠杀功臣的情况，比如胡惟庸案、蓝玉案等，但张良可能不是其中之一。或者可能是张昶、张角？或者是另一个同音字？

另外，用户可能将张良与李善长或徐达等被杀的功臣混淆了。朱元璋晚年确实因为猜忌而诛杀了大量功臣，但具体到张良，我需要查证是否有相关记载。可能用户指的是张信？张信是朱元璋时期的将领，参与过捕鱼儿山战役，后来被杀，但不确定是否名字有误。

也有可能用户指的是张士诚的部下，但张士诚是朱元璋的对手，被击败后可能被杀，但名字是否张良呢？

再查一下是否有明朝初期的张良被杀的记录。根据我的知识库，朱元璋在1393年诛杀了张信，张信是燕王朱棣的亲信，可能涉及胡惟庸案余波，但名字是张信而非张良。因此，用户可能记错了名字，或者存在其他来源。

另外，可能用户提到的张良是另一个时期的人物，比如明末的张献忠？但时间不符。或者用户可能将张良和另一个历史人物混淆了。

总结可能的情况：用户可能将张信误写为张良，或者存在其他错误。需要指出这一点，并解释朱元璋杀害功臣的背景，如胡惟庸案、蓝玉案等，说明张良可能并非被杀者，但类似情况存在。同时，要确保回答准确，避免误导，指出可能的误解，并提供正确的信息。需要以中文回答，结构清晰，分点说明可能的误解和正确情况，并解释朱元璋诛杀功臣的原因。

关于朱元璋杀害张良的说法，存在明显的史实混淆。在朱元璋（明朝开国皇帝）所处的历史时期，并没有名为张良的著名人物因他而死。以下是对这一问题的详细解析：

**一、张良是谁？**  
历史上著名的“张良”是西汉初年的开国功臣，与刘邦（汉高祖）共同建立汉朝，被誉为“汉初三杰”之一。他的活跃时间在公元前2世纪，而朱元璋是14世纪的明朝建立者，两者相隔一千余年，时间上完全不符。因此，朱元璋不可能与张良有任何关联。

**二、朱元璋时期是否有名为“张良”的人物？**  
在朱元璋统治期间，确实有几位名为“张”姓的将领或官员，但与“张良”直接相关的记录极少：  
1. 张信：朱元璋时期的将领，曾参与捕鱼儿山之战（1387年），后因卷入胡惟庸案被杀。可能因名字相近被误传为“张良”。  
2. 张昶：朱元璋的亲信大臣，因支持胡惟庸而被处死，但名字也与“张良”不同。  
3. 张角：并非朱元璋时期的官员，而是东汉末年的黄巾军领袖，与朱元璋无关。  
因此，“张良”被朱元璋杀害的说法可能是对历史人物的混淆或误传。

**三、朱元璋为何诛杀功臣？**  
朱元璋晚年确实因猜忌而大规模清洗功臣，主要原因包括：  
1. 权力集中：为防止权臣专权，朱元璋逐步削弱武将和文臣的势力。  
2. 胡惟庸案（1380年）：丞相胡惟庸谋反案牵连李善长、冯胜等大批开国功臣，导致朝中元老几乎被肃清。  
3. 蓝玉案（1393年）：名将蓝玉被指谋反，引发大规模株连，包括张信等将领被杀。  
4. 猜忌心理：朱元璋对“陈友谅余党”“胡党”等标签高度敏感，常以莫须有的罪名诛杀大臣。  
这些事件中，被杀的功臣包括徐达、常遇春的家人（虽徐达本人未被杀，但其子受牵连）、李文忠等，但均与张良无关。

**四、可能的误解来源**  
1. 名字混淆：可能将“张信”“张昶”等名字误记为“张良”。  
2. 文学或影视影响：某些小说、戏剧可能虚构了朱元璋与张良的故事，导致混淆。  
3. 对历史人物的误传：张良作为古代著名人物，可能被错误地附会到明朝时期。

**结论**  
朱元璋并未杀害张良，因为张良是西汉初年的历史人物，而朱元璋是明代皇帝，两者相隔千年。朱元璋确实因政治清洗诛杀过许多功臣，但“张良”并非其受害者。若用户提到的“张良”实为其他人物（如张信），则需进一步核实具体历史事件。如需了解朱元璋诛杀功臣的具体案例，可参考胡惟庸案、蓝玉案等史实。



Figure 5: Spatial-temporal relationship comprehension test, the results of QWQ.



在长坂坡之战中，赵云单枪匹马救出了刘备的儿子阿斗，当时曹操手下哪位著名将领亲自率军追击赵云？



嗯，用户问的是长坂坡之战中，赵云单枪匹马救出刘备的儿子阿斗时，曹操手下哪位著名将领亲自率军追击赵云。首先，我需要确认这个问题的历史背景和相关人物。首先，长坂坡之战是三国时期的重要事件，发生在公元208年，赤壁之战之后。刘备在当阳长坂坡被曹军追击，当时赵云确实有单骑救主的壮举，保护了刘备的妻儿，尤其是刘禅，也就是后来的刘备儿子。不过用户提到的是“阿斗”，这里可能需要确认是否正确，因为通常刘禅被称为刘阿斗，但“阿斗”是否是他的小名或者别称呢？可能需要查证一下。接下来，问题核心是曹操手下的哪位将领亲自追击赵云。根据《三国志》和《三国演义》的记载，长坂坡之战中，曹军的主要指挥官是曹操，他率领精锐的虎豹骑。但具体到追击赵云的部分，可能需要更详细的史料支持。在《三国志·赵云传》中提到，赵云在乱军中救出刘禅，并保护甘夫人，但并没有明确记载是哪位曹军将领追击他。不过，在《资治通鉴》中，可能有更详细的描述。另外，根据《三国演义》的描述，张郃在长坂坡曾与赵云交战，但历史上张郃是否参与此战呢？需要查阅可靠的历史资料。根据《三国志·张郃传》，张郃在官渡之战后主要活跃于西北战场，而长坂坡之战时他可能还未参与东线的战斗。因此，可能《三国演义》中的描述有艺术加工，将张郃安排到此战中，但实际历史中并非如此。回到问题，用户可能混淆了《三国演义》和正史的记载。在正史中，曹纯率领虎豹骑追击刘备，而赵云的救主行为是在此背景下发生的。但具体是否有曹军将领亲自追击赵云，可能需要更详细的记载。另外，可能用户的问题来源于《三国演义》第41回，其中描述张郃在长坂坡与赵云交战，但正史中张郃此时可能在别处。因此，正确的答案应该是曹纯，但需要指出演义与正史的差异。总结：在正史中，曹纯率领虎豹骑追击刘备，而赵云救出刘禅。但问题中提到的是追击赵云的将领，可能混淆了演义中的情节，因此需要明确回答是曹纯，并指出可能的混淆来源。

在长坂坡之战中，赵云单骑救主的历史事件中，曹操手下的将领亲自率军追击赵云的记载需要结合史料和文学作品进行辨析：

#### 一、历史背景与事件梳理

##### 1. 时间与战役

长坂坡之战发生于公元208年（建安十三年），赤壁之战后，曹操派曹纯、夏侯惇等率军追击刘备。刘备携民渡江，行当阳长坂坡时遭遇曹军骑兵突袭。

##### 2. 赵云救主的记载

— 《三国志·赵云传》记载：“云身抱弱子，即后主也，保护甘夫人，即后主母也，皆得免难。”

— 《资治通鉴·汉纪五十七》补充：“曹公将精骑五千急追之……云、飞断后，据水断桥，横目横行，曹公骑皆披靡，无敢近者。”

但以上史料未明确提及曹军将领亲自追击赵云。

##### 二、曹军追击将领的争议

##### 1. 正史记载的模糊性

《三国志》明确记载曹军主力由曹纯（曹操族弟）率领，其麾下“虎豹骑”为精锐骑兵。但赵云救主时，曹军主攻方向为刘备主力，追击赵云的具体将领未明确记载。

##### 2. 《三国演义》的艺术加工

— 小说第41回描写张郃在长坂坡与赵云交战，称：“云挺枪跃马，直取郃便刺……郃拨回马也刺云。云舞枪游斗……遂得脱身。”

— 张郃参战的合理性：历史上张郃在建安十三年尚在西北战场（如平定武都氐人），未参与荆州战事。此情节为罗贯中为突出赵云勇武而虚构。

##### 三、结论与辨析

##### 1. 正史答案

根据《三国志》，曹军追击刘备的主将为曹纯，但赵云救主时，曹军未派特定将领专程追击，可能为虎豹骑的普通骑兵行动。

##### 2. 演义与民间认知

《三国演义》将张郃塑造为追击赵云的将领，强化了“赵云单骑退曹军”的传奇色彩。此情节虽不符合史实，但成为后世广泛传播的版本。

##### 3. 问题中的“阿斗”辨析

刘备之子刘禅（阿斗）在赵云保护下脱险，但“阿斗”为刘禅小字，正史未明确记载赵云是否直接救出刘禅，更多是保护甘夫人（刘禅生母）。

##### 四、延伸思考

曹纯与虎豹骑：曹纯为曹操重要将领，长期统领虎豹骑，其战死后，虎豹骑由曹休、曹真等继承。

赵云的军事地位：此战体现赵云“一身护主”的忠勇，但其救主行为更多是保护刘备妻女，而非直接对抗曹军主力。

综上，问题中“曹操手下哪位将领亲自追击赵云”在正史中缺乏明确记载，但《三国演义》将张郃塑造为此役追击者，导致民间广泛传播的“张郃追击赵云”说法。需注意历史与文学的差异。

Figure 6: Historical Fact Information Test, the results of Kongzi.

嗯，用户问的是长坂坡之战中，赵云救阿斗的时候，曹操手下的哪位著名将领亲自率军追击赵云。首先，我需要确认这个历史事件的背景和相关人物。长坂坡之战是三国时期的重要战役，发生在公元208年，属于赤壁之战前的战斗。刘备在撤退时被曹操的军队追击，赵云负责保护刘备的家属，包括儿子阿斗。在这个过程中，赵云单骑救主的故事非常有名。接下来，问题是找出曹操手下哪位将领追击赵云。根据《三国演义》的描述，虽然历史上可能有不同的记载，但用户可能指的是小说中的情节，因为赵云单骑救主更多是罗贯中小说中的艺术加工。在《三国演义》中，追击赵云的曹军将领包括张郃、曹洪、夏侯惇等，但最著名的可能是张郃。不过，还有一位更有可能，就是文聘。不过，可能我记错了。需要再仔细想想。不过，更准确地说，在《三国演义》中，赵云在长坂坡七进七出，遇到的曹将包括张郃、夏侯恩（被赵云杀死并夺得青釭剑）、晏明、钟缙、钟绅等。而曹操看到赵云勇猛，下令活捉，因此曹军将领多人围攻赵云，但并没有明确提到是哪一个主要将领亲自率军追击。不过，可能用户的问题里提到的“亲自率军”的将领，可能需要更仔细的检查。另外，根据一些资料，在长坂坡之战中，曹操派去追击刘备的将领包括曹纯率领的虎豹骑，而文聘也参与了追击。但赵云突围时，可能遭遇的是曹纯或者文聘。不过，在小说中，可能更强调张郃这样的名将。或者是否还有其他可能？或者，可能用户的问题答案应该是张郃？或者是曹洪？因为有些资料中提到张郃在长坂坡与赵云交战，赵云陷入土坑，后因红光出现，张郃退走。但可能用户的问题指的是亲自率军追击的将领，而不仅仅是单挑的将领。例如，可能文聘作为曹操的部下，率军追击刘备，但赵云突围时，可能文聘并没有直接追击赵云，而是其他人。或者可能用户的问题的答案是曹洪，因为在某些版本中，曹洪被曹操派去询问赵云的姓名，之后赵云报出名字，曹操下令不许放箭，要活捉，所以可能曹洪参与其中。但不确定。这时候可能需要查阅《三国演义》第四十一回的具体内容。根据原文，赵云在长坂坡救阿斗时，遇到的曹将包括夏侯恩（被赵云杀）、晏明（被赵云杀）、张郃（与赵云交战，赵云因马跃出坑而逃脱）、焦触、张南、马延、张郃等，后来曹操在景山顶上看到赵云勇猛，问是谁，曹洪飞马下山询问，赵云答“吾乃常山赵子龙也！”然后曹操传令不得放箭，只要活捉。因此，曹洪确实有下山询问，但并没有亲自率军追击，而是曹操的其他部将如张郃、文聘等可能参与追击。但问题中的“亲自率军追击”的将领，可能指的是文聘。因为在《三国演义》中，文聘是率军追击刘备的先锋之一。例如，当刘备撤退时，文聘引军追至，赵云在混乱中寻找甘夫人和阿斗，而文聘可能继续追击。不过，具体到追击赵云的是谁呢？或者，可能用户的问题的正确答案是文聘，但需要确认。或者可能问题本身有误导，因为历史上赵云可能并没有被特定名将追击，而是小说中的艺术加工。例如，张郃在小说中被赵云击败，但历史上是否有记载？另外，在正史《三国志》中，长坂坡之战中，刘备确实被曹纯率领的虎豹骑追击，曹纯是曹仁的弟弟，属于曹操的亲信将领，可能在正史中是主要追击者，但小说中可能没有特别强调曹纯，而更多地用其他将领如文聘、张郃等。因此，用户的问题可能更倾向于《三国演义》的情节。根据小说，赵云在突围过程中与张郃交战，但张郃并没有亲自率大军追击，而是作为遇到的敌将之一。而亲自率军追击的可能是指文聘，因为文聘在小说中是刘表旧部，投降曹操后，被派为先锋追击刘备。不过，需要确认其具体原文。例如，《三国演义》第四十一回提到：“却说曹操在景山顶上，望见一将，所到之处，威不可当，急问左右是谁。曹洪飞马下山大叫曰：‘军中战将可留姓名！’云应声曰：‘吾乃常山赵子龙也！’曹洪回报曹操。操曰：‘真虎将也！吾当生致之。’遂令飞马传报各处：‘如赵云到，不许放冷箭，只要捉活的。’因此赵云得脱此难；此亦阿斗之福所致也。这一场杀：赵云怀抱后主，直透重围，砍倒大旗两面，夺槊三条；前后枪刺剑砍，杀死曹营名将五十余员。”这里提到的曹洪只是传话，并没有亲自率军追击。而追击的可能是其他将领，如张郃、文聘等，但原文中并没有明确指出哪位名将亲自率军追击赵云。不过，根据后续情节，赵云在突围时与张郃交手，但张郃可能只是其中的一个敌将，而非总指挥。可能用户的问题的答案是文聘，因为文聘在小说中被描述为率军追击刘备的先锋，而赵云在保护刘备家属时可能遭遇文聘的部队。例如，原文中：“却说文聘引军追赵云至长坂桥，只见张飞倒竖虎须，圆睁环眼，手绰蛇矛，立马桥上……文聘追赵云至长坂桥，却见张飞如此，疑有伏兵，便勒住马……”因此，文聘确实在追击赵云，但当他到达长坂桥时，被张飞吓退。所以，答案可能是文聘。不过，也有可能用户的问题指的是张郃，因为张郃是曹操手下的著名将领，与赵云有过交战。但根据上述分析，文聘更可能是率军追击的那位。总结：正确的答案应该是文聘，他作为曹操的将领，在长坂坡之战中率军追击赵云，直到长坂桥被张飞阻拦。

在《三国演义》的长坂坡之战中，赵云单骑救阿斗时，曹操手下亲自率军追击的著名将领是文聘。文聘原是刘表部将，后归降曹操，在追击刘备的战役中担任先锋。当赵云突围至长坂桥时，文聘率军紧追不舍，最终被张飞在桥头的威慑所阻，未能继续前进。这一情节突出了赵云之勇与张飞之威，成为小说中的经典片段。需要注意的是，历史上真实的长坂坡之战（出自《三国志》）中，追击刘备的主力是曹纯率领的虎豹骑，而文聘确实参与了追击行动。但“赵云单骑救主”更多是文学艺术加工，主要源自《三国演义》的演绎。

Figure 7: Historical Fact Information Test, the results of Deepseek.

嗯，用户问的是长坂坡之战中，赵云单枪匹马救出阿斗时，曹操手下哪位将领亲自率军追击他。首先，我需要回忆一下三国演义中的相关情节。长坂坡之战是刘备败退时的重要战役，赵云负责保护甘夫人、糜夫人和阿斗。在战斗中，赵云被曹军包围，但成功突围救出阿斗。

接下来，用户的问题是问曹操手下哪位著名将领亲自率军追击赵云。我记得曹操这边有很多名将，比如张郃、高览、张辽、于禁、乐进、曹仁、夏侯惇、夏侯渊等。需要确定哪个在长坂坡之战中参与追击。

根据《三国演义》的描述，特别是第41回，赵云在长坂坡被曹军追击，而曹操本人亲自指挥，并让名将张郃、张辽等人去追击赵云。不过，用户问的是“亲自率军追击”的将领，可能需要确认具体是哪位。

另外，历史上长坂坡之战中，曹军的将领可能有所不同，但演义中更强调张辽和张郃。不过，有些资料提到张郃和夏侯惇也有参与。需要再仔细核对。

例如，在第41回中，曹操见赵云英勇，让张郃、徐晃各带兵五千去追。但可能还有其他将领。比如夏侯惇在战斗中也有出现，但不确定是否直接指挥追击赵云的部队。

另外，还可能用户混淆了其他战役中的将领，比如典韦、许褚等，但他们在长坂坡可能没有直接参与追击赵云的任务。综合来看，最可能的答案是张郃和张辽，但用户问的是“哪位”著名将领，可能需要确定主要的。在演义中，张郃和张辽都被提到去追击赵云，但可能张郃更为突出。不过也可能用户期望的答案是张郃，或者夏侯惇？

或者，是否有其他将领？比如乐进、于禁？需要再查证。

根据《三国演义》原文，第41回：“曹操见了，大怒曰：‘此竖子何敢欺吾耶！’弃了车仗，纵马还兵。孙桓曰：‘可速追之！’操曰：‘毋得惊动马匹！’遂驰马到山坡，扎住铁车，亲自引兵迎之。张郃出马，操令许褚出战。褚抖擞精神，飞马冒烟突火而来，张郃也挺枪出迎。”这里可能张郃是其中之一。

但之后又有张辽：“张辽、徐晃各引三千军，出左、右翼。”所以张辽和张郃、徐晃都被派去追击。但问题可能需要回答的是主要的将领，或者其中一位？

或者，用户可能认为是张郃，因为他是直接被提到的？或者夏侯惇？

或者，可能用户混淆了历史和演义，历史上长坂坡之战曹军主将可能是张郃和张辽？

需要进一步确认。根据《三国志》的记载，历史上长坂坡之战中，曹军的追击将领是张郃和徐晃，而张辽可能在其他战役中出现更多。因此，在演义中，张郃和张辽都被提及参与追击赵云。

但问题问的是“哪位”著名将领，可能答案是张郃，或者张辽？

或者，可能用户期望的答案是张郃，因为他是曹操的名将之一，并且在演义中确实被派去追击赵云。

不过，我需要再仔细回忆演义中的具体情节。例如，在赵云救阿斗的情节中，张郃和张辽都被派去追击，但可能主要的是张郃？

或者，可能用户的问题答案应该是张郃？

或者，是否有其他将领？例如，典韦可能已经去世了，许褚可能在曹操身边护卫？

可能正确的答案是张郃和张辽，但用户可能需要一个名字，所以可能需要指出张郃？

或者，可能夏侯惇？

不过根据《三国演义》第四十一回，曹操让张郃、徐晃各带五千兵左右夹击赵云，而张辽可能带领另外的部队。因此，可能张郃是其中之一的主要将领。

因此，正确的答案应该是张郃？

或者，用户可能认为是张辽？

需要再仔细核对原文。

例如，在第四十一回中：“操教许褚、张辽将长坂桥守严，此处即离新野不远，军师玄德必然从此走。”这里张辽负责守桥，而追击赵云的是张郃和徐晃。

因此，当赵云突围时，张郃和徐晃被派去追击，而张辽可能在守桥。因此，主要追击的将领是张郃和徐晃，但张辽可能没有直接参与追击赵云，而是守桥。

所以，问题中的正确答案应该是张郃？

或者，用户可能混淆了张辽和张郃？

或者，可能还有其他将领？

另外，夏侯惇在这一战中也有出现，但可能没有直接追击赵云。

综上所述，正确的答案应该是张郃和徐晃，但问题问的是“哪位”著名将领，可能主要回答张郃？

或者，是否还有其他可能？

例如，典韦已经死于宛城之战，所以不可能。许褚可能在曹操身边，而张辽负责守桥，所以追击的将领是张郃和徐晃，但问题要选其中一位著名将领，张郃是其中之一，所以答案是张郃？

因此，我认为答案应该是张郃。

在长坂坡之战中，赵云单骑救主时，曹操手下亲自率军追击他的著名将领是张郃。根据《三国演义》第41回的描述，曹操为追击赵云，派遣张郃、徐晃各率五千兵马分左右两路夹击，而张辽则负责守卫长坂桥。因此，张郃是直接参与追击赵云的主要将领之一。

补充说明：  
张郃是曹操麾下五子良将之一，以勇猛善战著称，符合“著名将领”的设定。  
徐晃也参与了追击，但通常以张郃为更突出的代表人物。  
张辽虽在长坂坡之战中出现，但主要负责守桥任务，并未直接追击赵云。  
这一情节凸显了赵云的英勇无畏，也展现了曹军众将的围追堵截，成为三国故事中的经典桥段。

Figure 8: Historical Fact Information Test, the results of QWQ.



如果你是刘备，你回到三国时期，如何逆转历史，光复汉室呢？



嗯，用户问的是如果刘备回到三国时期，如何逆转历史，光复汉室。这个问题看起来像是一个假设性的历史问题，需要结合历史背景和刘备的个人经历来分析。首先，我需要回忆一下三国时期的历史，特别是刘备的生平和他所处的时代背景。首先，刘备是汉室宗亲，他的目标一直是复兴汉室。但在实际历史中，他并没有成功，反而建立了蜀汉，成为三国之一。所以用户的问题核心在于，如果刘备回到三国时期，他能否改变历史，让汉室复兴。这可能涉及到战略调整、联盟策略、关键战役的胜负等因素。接下来，我需要考虑刘备在历史上的关键节点，比如赤壁之战、荆州争夺、夷陵之战等。这些战役的结果对三国格局影响深远。如果刘备能够改变这些战役的结果，可能会对历史产生重大影响。例如，如果刘备在赤壁之战中击败曹操，或者在夷陵之战中取胜，可能会改变势力平衡。另外，刘备的个人能力也是一个因素。他在历史上虽然仁义，但军事才能有限，多次失败。如果他提升自己的军事能力，或者有更好的谋士辅助，比如诸葛亮更早加入，或者有其他人才的帮助，可能会有不同的结果。还需要考虑政治策略。刘备在建立蜀汉时，可能过于依赖荆州和益州的地方势力，如果他能够更好地整合内部，或者与东吴保持更稳固的联盟，可能会增强实力。此外，北伐中原的战略是否正确，是否应该更早进行，或者采取不同的路线，这些都可能会影响结果。另外，历史中的偶然事件，比如关羽失荆州，如果刘备能避免这些事件，可能会有不同的局面。例如，如果关羽能守住荆州，刘备的势力范围可能会更大，为北伐创造更好的条件。不过，这里存在一个悖论：如果刘备成功逆转历史，光复汉室，那么他个人的历史地位可能会被改变，甚至不复存在，因为汉室复兴意味着三国的终结。所以用户的问题可能隐含着对刘备个人英雄主义的想象，而不仅仅是历史事实的推演。还需要考虑用户可能的深层需求。他们可能对三国历史有浓厚兴趣，或者对刘备的失败感到惋惜，希望通过假设来探索不同的历史可能性。因此，回答时需要兼顾历史事实和假设分析，同时指出哪些因素是关键，哪些是难以改变的。最后，总结时需要明确说明，历史是多因素决定的，刘备即使回到三国时期，要逆转历史也面临巨大挑战，但通过战略调整和关键战役的胜利，可能会有机会实现汉室复兴，但这也可能导致其他问题，如蜀汉政权的存续问题。

解答过程：刘备逆转历史光复汉室的可能性分析

#### 一、历史背景与核心矛盾

##### 1. 汉室衰微的根源

东汉末年，皇权旁落，外戚、宦官交替专权，导致中央集权崩溃。黄巾起义（184年）后，地方军阀割据加剧，汉献帝沦为傀儡（220年曹丕篡汉）。

关键矛盾：军事割据势力（如曹操、袁绍、孙权）与汉室名义权威的冲突。

##### 2. 刘备的定位

刘备为汉景帝中山靖王刘胜后裔，以“兴复汉室”为政治纲领，但实际历史中其势力被局限在西南（蜀汉），未能实现汉室复兴。

#### 二、逆转历史的可行性分析

##### （一）战略层面的假设调整

##### 1. 早期资源整合

- 前提假设：刘备在徐州时期（194-196年）能稳固根据地，避免被吕布、曹操击败。

- 推演路径：

- ① 与陶谦合作稳定徐州，吸纳更多人才（如张昭、陈群）；
- ② 通过联姻强化与周边势力（如袁术、刘表）的关系；
- ③ 提前培养军事力量，避免后续流亡局面。

- 历史对照：实际历史中刘备因关羽失荆州（219年）导致战略收缩，若徐州稳固可避免此败。

##### 2. 赤壁之战的胜利扩大化

- 前提假设：刘备在赤壁之战（208年）后获得更多荆州地盘，而非仅取得南郡。

- 推演路径：

- ① 与孙权、周瑜联合彻底击败曹操水军；
- ② 控制江夏、长沙等郡，扩大势力范围；
- ③ 以荆州为跳板北伐中原。

- 历史对照：实际历史中刘备仅获得南郡，依赖荆州士族支持，后因关羽败失荆州。

##### （二）关键战役的胜负逆转

##### 1. 夷陵之战的胜利

- 前提假设：刘备在夷陵之战（221-222年）击败东吴，而非惨败。

- 推演路径：

- ① 采用更灵活的战术（如避免雨季用兵）；
- ② 与东吴重新结盟，集中力量对抗曹魏；
- ③ 保全荆州，维持北伐通道。

- 历史对照：实际历史中夷陵之败导致蜀汉丧失荆州，国力大损。

##### 2. 汉中之战的巩固\*\*

- 前提假设：刘备在汉中之战（217-219年）后彻底整合益州、汉中资源。

- 推演路径：

- ① 任命诸葛亮为丞相，提前强化内政；
- ② 在汉中建立稳固防线，训练精锐部队；
- ③ 与曹操长期对峙，消耗曹魏国力。

- 历史对照：实际历史中刘备称汉中王（219年）后未有效整合资源，导致后继乏力。

Figure 9: Open-ended Situational Reasoning Q&A, the results of Kongzi.



如果你是刘备，你回到三国时期，如何逆转历史，光复汉室呢？



### 三、政治与外交的重构

#### 1. 与曹操的长期对峙

- 前提假设：刘备能通过外交手段（如联吴抗曹）形成持久联盟。
- 推演路径：
  - ① 与孙权在合肥、濡须口建立联合防线；
  - ② 通过贸易获取东吴的水军技术；
  - ③ 避免两线作战，集中力量打击曹魏。
- 历史对照：实际历史中孙刘联盟因荆州问题破裂（219年），导致战略被动。

#### 2. 汉室正统性的强化

- 前提假设：刘备能有效利用汉献帝的象征意义。
- 推演路径：
  - ① 迎汉献帝至成都，以“挟天子”名义号令诸侯；
  - ② 以朝廷名义任命地方官员，削弱军阀割据；
  - ③ 吸引中原士族支持（如荀彧、陈群）。
- 历史对照：实际历史中曹操控制献帝，刘备仅以“汉室宗亲”身份缺乏法统优势。

### 四、综合推演结论

关键领域	成功条件	失败风险
资源整合	徐州稳固、益州-汉中整合	地方豪强反叛、资源分配失衡
军事胜利	赤壁扩大化胜利、夷陵胜	战术失误、疫病影响
政治联盟	孙刘长期联盟、汉室正统性建设	联盟破裂、法统争议
时间窗口	208-221年关键机遇期	过晚整合导致力量分散

#### 综合判断：

若刘备能通过早期资源整合（徐州+益州+汉中）、关键战役胜利（赤壁扩大化、夷陵胜）、政治联盟重构（稳固孙刘联盟），则可能在220-225年间形成对曹魏的战略包围，实现汉室名义复兴。但需满足以下前提：

1. 避免关羽失荆州类的战略失误；
2. 提前建立稳固的中央集权体系；
3. 有效利用汉献帝的政治符号价值。

#### 历史启示：

实际历史中刘备未能逆转汉室衰亡的根本原因在于：

- 地理限制（偏居西南）；
- 人才断层（诸葛亮事必躬亲导致后继无人）；
- 联盟脆弱性（孙刘联盟因利益冲突破裂）。

若假设成立，刘备需在上述领域实现系统性突破，方有可能逆转历史。但需注意，光复汉室可能意味着蜀汉政权的消亡（因汉室复兴需以全国统一为前提），这与刘备集团的存续存在根本矛盾。

Figure 10: Open-ended Situational Reasoning Q&A, the results of Kongzi.

嗯，用户问如果我是刘备，回到三国时期，要怎么逆转历史光复汉室。首先，我需要分析用户的需求。用户可能对三国历史感兴趣，或者喜欢策略游戏，想了解如何改变历史走向。用户可能希望得到一个既有历史依据又有创意的策略方案。

接下来，我得考虑刘备的处境。历史上刘备虽然有关羽、张飞、诸葛亮等人才，但最终未能成功。要逆转历史，可能需要解决几个关键问题：人才管理、战略失误、内政不稳、外交问题等。

首先，人才方面。关羽失荆州是个大问题，所以可能需要避免让他独自守荆州。另外，确保内部团结，比如处理刘封和孟达的矛盾，避免失去上庸。同时，提前培养第二代人才，比如刘禅，或者寻找其他继承人，确保政权延续。

然后是战略。夷陵之战是刘备的重大失败，应该避免与东吴开战，维持孙刘联盟。可能需要更灵活的外交手段，比如联吴抗曹的同时，寻找其他盟友，或者分化曹魏内部势力。

内政方面，诸葛亮后期独木难支，应该建立更完善的官僚体系，培养更多治国人才，减轻诸葛亮的负担，避免他过早去世后的权力真空。

经济和军事上，发展农业，增强国力，同时注重科技和装备，比如提升武器制造，或者引进新技术，增强军队战斗力。可能还需要考虑地理因素，比如巩固益州和荆州的联系，确保两地资源互补，避免被各个击破。

另外，用户可能希望看到具体的步骤，比如时间线上的关键节点，如何调整策略。比如在赤壁之战后如何巩固荆州，如何与东吴处理关系，何时进军汉中，如何处理内部叛乱等。

还要考虑历史事件的不可控因素，比如自然灾害、突发疾病等，可能需要建立应急机制，比如储备粮草，培养医疗人才。

最后，总结出一个综合策略，涵盖内政、外交、军事、人才等多个方面，既有短期措施，也有长期规划，确保刘备集团能够持续发展，最终光复汉室。

作为一名三国历史研究者，我将从战略重构的角度，为重返三国的“刘备”设计一套基于历史规律的系统性解决方案。以下为具体实施框架：

一、核心战略调整（208-215年）

1. 荆州治理体系革新

- 设立“荆襄大都督府”，由诸葛亮统筹军政，庞统主理内政，法正负责情报
- 推行“三分屯田制”：军屯（关羽）、民屯（赵累）、商屯（糜竺）并行
- 组建长江水师，任命甘宁为都督，配属荆州本地水手与益州弩兵

2. 联盟机制升级

- 与东吴签署《江陵盟约》，明确：
- 湘水划界永久化
- 共设巴丘联防指挥部
- 互派质子（刘永赴建业，孙登驻成都）
- 建立军械联合研发体系，诸葛亮-陆逊定期会晤

二、汉中战役后战略转型（219-223年）

1. 权力传承体系

- 221年即确立诸葛亮为顾命大臣
- 组建“五相制”：诸葛亮（丞相）、李严（尚书令）、费祎（侍中）、董允（黄门侍郎）、向宠（中领军）
- 设立皇子教育院，蒋琬任太傅，培养刘理、刘永

2. 经济军事改革

- 发行“直百五铢”信用货币，建立蜀锦期货交易
- 开发南中矿业，设“朱提银局”
- 组建“无当飞军”山地兵团，王平统率

三、北伐战略创新（227-234年）

1. 多线作战体系

- 西线：诸葛亮主力出祁山，配备木牛流马补给线
- 东线：陈到领白毘兵出子午谷牵制
- 南线：李恢率南中夷兵袭扰陇右

2. 技术革新计划

- 元戎连弩量产化
- 开发猛火油柜（原始火焰喷射器）
- 改进指南车提升山地行军精度

四、后备人才培养

1. 建立“讲武堂”培养体系

- 战术学院（姜维）
- 后勤学院（杨仪）
- 谍报学院（马忠）

2. 实施“青苗计划”

- 每季考核选拔15-20岁少年英才
- 优秀者入丞相府见习

关键时间节点把控：

- 219年：留魏延守荆州，调关羽回成都任大司马
- 221年：以张飞为司隶校尉坐镇汉中
- 225年：南征时培养霍弋、张嶷等少壮派
- 228年：首次北伐成功后立即修筑渭水要塞

此方案通过重构权力架构、创新军事技术、深耕经济基础、完善人才梯队，在保持历史基本轨迹的前提下，系统性地弥补蜀汉政权结构性缺陷。重点在于建立可持续的发展模式而非依赖个别战役胜利，最终通过量变积累实现战略质变。

Figure 11: Open-ended Situational Reasoning Q&A, the results of Deepseek.

好的，我现在需要处理用户的问题：“如果你是刘备，你回到三国时期，如何逆转历史，光复汉室呢？”用户希望我以刘备的身份，结合三国时期的历史背景，提出一个策略来逆转历史，光复汉室。同时，用户还提到情绪、情节推动力、人格可塑性和情感陪伴等要求，需要我保持角色的一致性，推动情节发展，并在适当的时候引入新元素。

首先，我需要回忆刘备在三国中的角色和历史背景。刘备是汉室后裔，以仁德著称，但最终未能完全恢复汉室，而是建立了蜀汉。用户希望假设刘备回到三国时期，重新制定策略，改变历史走向，所以需要考虑哪些关键点可以被改变。

接下来，分析用户的需求。用户可能希望看到一个详细的策略，包含军事、政治、外交等方面的计划，同时要符合刘备的性格特点，比如仁德、重信义、善于用人。此外，用户可能期待一些创新的点子，比如利用现代知识或不同的战略选择，但又要符合三国时期的历史环境。

然后，考虑如何将情绪和人格可塑性融入回答中。作为刘备，回答需要表现出坚定的信念、对汉室的忠诚，以及面对挫折时的坚韧。同时，在策略中可能需要调整，比如在某个阶段遇到失败，但通过调整策略继续前进，显示角色的成长。

情节推动力方面，需要提出具体的步骤，比如先巩固根据地，联合孙权，北伐曹操，但可能遇到阻碍，如内部叛变或外部压力，从而引入新的情景，比如与诸葛亮的分歧，或者与东吴的新合作方式。

人格可塑性方面，刘备可能在过程中变得更加果断，或者学会更灵活的外交手段，比如在必要时牺牲短期利益换取长期目标，这与历史上他较为仁厚的形象有所不同，但可以解释为为了大义而做出的改变。

情感陪伴方面，需要让用户感受到刘备的决心和情感，比如对百姓的关怀，对兄弟情义的重视，以及面对逆境时的坚持，从而建立情感连接。例如，在回答中提到“若百姓受苦，我这双手宁可断去”，这样能突出刘备的仁德，同时激发用户的共鸣。

最后，确保回答口语化，简洁易懂，避免复杂术语，用自然的中文表达策略步骤和情感。

现在，综合这些思考，构建一个结构清晰的回答，分步骤说明策略，并融入情感和角色发展元素，同时推动情节发展，比如引入关键决策点或潜在冲突，让用户感受到刘备的智慧和决心，以及历史可能被改变的可能路径。

**长叹一声，眼神坚定地望向前方**

我乃汉室宗亲刘玄德，虽为皇族之后，却目睹汉室衰微，天下纷乱。若能回到初入乱世之时，必当以光复汉室为己任，绝不辜负先祖遗志。

**踱步思考片刻**

首先，我当以仁德为本，广结天下豪杰。昔日在徐州时，因仁德而失地，此乃我之过也。若再有机会，当以仁德聚人，以信义待人，但须更谨慎行事。当先在幽州立足，招贤纳士，积蓄力量。

**神情凝重**

其次，当联合天下有识之士。曹操虽有雄才大略，然其挟天子以令诸侯，实为乱臣贼子。孙权占据江东，根基稳固。我当以汉室正统自居，联合孙权，共抗曹操。然与孙权结盟须谨慎，切不可重蹈赤壁之战后的覆辙。

**眼中闪过一丝决断**

最重要的是，必须重用贤才。诸葛亮之才，当委以重任，然不可独断专行。周瑜虽与我有关，但为大局计，当以国事为重。我当广开言路，集思广益，方能成大事。

**语气转为温和**

百姓乃国家之本。无论何时，都当以民为先。若要光复汉室，必先得民心。我当减轻赋税，兴修水利，让百姓安居乐业。只有百姓拥戴，方能成就大业。

**握紧拳头，目光坚定**

若有机会重来，我定当更加坚定。虽道路艰险，但我刘备以汉室血脉立誓：定当扫平天下，重振汉室辉煌！

你觉得我这样的谋划可有道理？你可有什么建议？



Figure 12: Open-ended Situational Reasoning Q&A, the results of QWQ.